

времени измерения, по-видимому, свидетельствует о неравновесности термодинамического состояния вещества за фронтом ударной волны.

Результаты измерений и моделирования на ЭВМ показывают, что двухзондовая методика с использованием цилиндрических коаксиальных токовых электродов при учете электромагнитной индукции с помощью последовательных приближений позволяет измерять проводимости, близкие к металлическим, т. е. позволяет регистрировать переход диэлектрик — металл в ударной волне.

Поступила 6 XII 1979

ЛИТЕРАТУРА

1. Бриш А. А., Тарасов М. С., Цукерман В. А. Электропроводность продуктов взрыва конденсированных взрывчатых веществ. — ЖЭТФ, 1960, т. 38, вып. 1.
2. Алдер Б. Физические эксперименты с сильными ударными волнами. — В кн.: Твердые тела под высоким давлением. М., Мир, 1966.
3. Килер Р. Электропроводность конденсированных сред при высоких давлениях. — В кн.: Физика высоких плотностей энергии. М., Мир, 1974.
4. Якушев В. В. Электрические измерения в динамическом эксперименте. — ФГВ, 1978, № 2.
5. Бут Д. А. Вход ударной волны со скачком проводимости в поперечное магнитное поле. — Магнитн. гидродинамика, 1970, № 4.
6. Годунов С. К., Рябенький В. С. Разностные схемы. М., Наука, 1973.

УДК 620.178.7

ТЕМПЕРАТУРНАЯ ЗАВИСИМОСТЬ ПРОЧНОСТИ ГЛИЦЕРИНА ПРИ ОТКОЛЕ

M. A. Иванов

(*Москва*)

Жидкости при высокоскоростном нагружении теряют присущие им в обычных условиях свойства текучести и ведут себя подобно твердым телам, проявляя хрупкость [1, 2]. Изучение разрыва жидкостей с помощью ударных волн слабой интенсивности дает возможность определить величины критических растягивающих напряжений (σ_p), получаемых в результате интерференции волн разгрузки у свободной поверхности (метод откола) [3]. Так, за последнее время появились работы, в которых определялась величина σ_p в акустическом приближении при комнатной температуре: в воде [4, 5], этиловом спирте [4, 5], глицерине [5—8], ртути [9].

В работе [10] исследовалось влияние температуры на σ_p для глицерина. Ударные волны в глицерине возбуждались с помощью импульсного электронного пучка с потоками энергии от 80 до 1500 кДж/м². Примем, что форма импульса нагрузки при изменении потока энергии облучения оставалась близкой к треугольной. Величины σ_p рассчитывались в акустическом приближении по формуле

$$(1) \quad \sigma_p = 0,5 \rho c(v_0 - v_1),$$

где ρ и c — плотность и объемная скорость звука для глицерина соответственно; v_0 и v_1 — значения скоростей свободной поверхности в момент выхода на нее фронта ударной волны и момент достижения ею первого минимума скорости соответственно. Регистрация скорости свободной по-

верхности осуществлялась с помощью лазерного интерферометра. Полученные в [10] по формуле (1) значения σ_p от температуры T приведены на фиг. 1 (точки \circ) и аппроксимируются двумя кривыми, которые (по мнению авторов [10]) отвечают различным механизмам разрушения. В области температур, меньших 262 К, разрушение имеет хрупкий характер (кривая 1), сопровождается образованием и ростом трещин; в области температур, больших 262 К (кривая 2), разрушение вязкое, сопровождается образованием и ростом пузырьков.

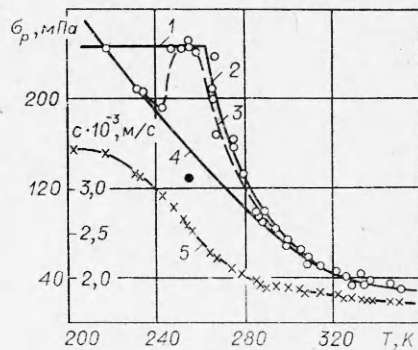
Такая интерпретация экспериментальных данных не является единственной. Так, при рассмотрении перехода от хрупкого разрушения к вязкому в работе [10] отмечается, что температура стеклования глицерина, когда следовало бы ожидать такой переход, значительно ниже 262 К и равна, согласно работе [11], 180 К. Достаточно произвольно проведена аппроксимация данных при $T < 262$ К. Экспериментальные значения могут быть описаны плавно спадающей с ростом T кривой (фиг. 1, кривая 3) с характерным резонансным пиком в области температур 240—280 К. Отметим, что именно в этой области наблюдается резкое изменение (дисперсия) скорости звука (фиг. 1, кривая 5) и повышенное поглощение [10]. Это обстоятельство указывает на возможность релаксационных явлений в глицерине, возникающих при распространении слабых ударных волн так же, как и при распространении ультразвука [3]. Неучет аномально-высокого затухания в жидкости при отражении импульса нагрузки от свободной поверхности мог привести к завышенным значениям σ_p , вычисленным по формуле (1). Покажем это.

Определим величину разрушающих напряжений в том же приближении, как и в работе [10], но с учетом затухания (σ_p^*). При определении σ_p^* будем считать, что на малых расстояниях, которые нас интересуют, импульс нагрузления затухает, не меняя своей формы *. Так, если считать исходным импульсом, фронт которого выходит на свободную поверхность ($t = 0$), то после прохождения им расстояния $x = ct$ значения массовых скоростей и давлений уменьшаются в $\exp(-\alpha x)$ раз, где α — коэффициент затухания. Величина σ_p^* в сечении $x = \delta$ на момент времени $t = \delta/c$ вычисляется как разность между амплитудой отраженного импульса и значением напряжения падающего импульса:

$$(2) \quad \sigma_p^* = \sigma_0 \exp(-\alpha\delta) - \sigma_0(1 - 2\delta/l) \exp(-\alpha\delta) = 2\sigma_0\delta [\exp(-\alpha\delta)]/l,$$

где σ_0 — амплитуда падающего импульса при $t = 0$, которой соответствует скорость свободной поверхности v_0 . Выразим экспериментально измеренное значение v_1 через v_0 , δ и α . Так как v_1 есть скорость свободной поверхности в момент $t = 2\delta/c$, то с учетом затухания имеем

$$(3) \quad v_1 = v_0(1 - 2\delta/l) \exp(-2\alpha\delta).$$



Фиг. 1

* Нас интересует затухание головной части импульса протяженностью $\sim 2\delta$, которая определяет напряжения, развиваемые в плоскости откола. Поэтому формальное уменьшение количества движения при рассмотрении затухания всего импульса не должно нас смущать, так как оно является следствием принятого акустического приближения.

Решая совместно уравнения (2), (3) с учетом $\sigma_0 = 0,5 \rho c v_0$, получим соотношение

$$(4) \quad \sigma_p^* = 0,5 \rho c [v_0 \exp(-\alpha\delta) - v_1 \exp(\alpha\delta)],$$

которое, как и следовало ожидать, при $\alpha\delta \ll 1$ переходит в (1).

Оценим значение α для глицерина в области резонансного пика. Для сильно вязких жидкостей, одной из которых является глицерин, дисперсия скорости звука и связанное с ней аномально-высокое поглощение определяется их микронеоднородным строением [12]. Для этих жидкостей коэффициент затухания, отнесенный к частоте v , зависит от произведения частоты на вязкость η :

$$(5) \quad \alpha/v = f(v\eta),$$

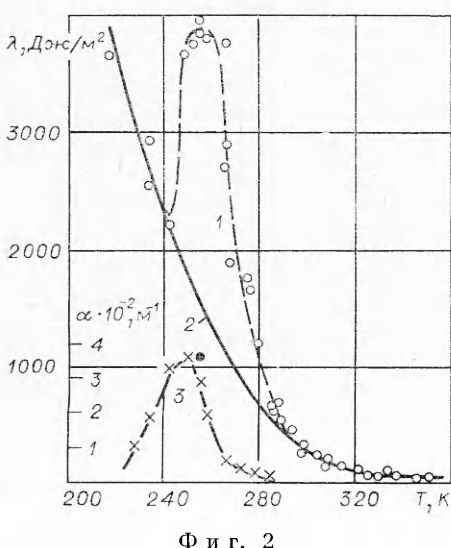
причем для глицерина $\ln \eta = a + b/T^3$, где $b = 2,098 \cdot 10^8$ [10]. В работе [12] приведены экспериментальные данные по затуханию ультразвука в глицерине в зависимости от T для $v = 22,3$ мГц, полученные в [13]. Согласно рис. 3 работы [10], длина нагружающего импульса в области резонансного пика равна ~ 1 мкс. Для такого импульса основной гармоникой будет $v \sim 1$ мГц. Полагая в (5) $v\eta \sim v \exp(b/T^3) = \text{const}$ и используя экспериментальные данные [13], перейдем от зависимости $\alpha_1(T_1)$ для $v_1 = 22,3$ мГц к аналогичной зависимости $\alpha_2(T_2)$ для $v_2 = 1$ мГц:

$$\alpha_2 = \alpha_1 v_1 / v_2 \text{ и } T_2 = b^{1/3} [\ln(v_1/v_2) + b/T^3]^{-1/3}.$$

Найденная таким образом зависимость $\alpha(T)$ для $v = 1$ мГц представлена на фиг. 2 (кривая 3), из которой следует, что максимальное значение 350 м^{-1} достигается при $T = 250 \text{ K}$, а при $T \leq 220 \text{ K}$ и $T \geq 280 \text{ K}$ значение α уменьшается более чем в 10 раз. Так как $\delta \sim 8 \cdot 10^{-4} \text{ м}$, то во всей области температур, за исключением интервала $220-270 \text{ K}$, $\alpha\delta \ll 1$ и формула (4) может быть заменена формулой (1). К сожалению, в работе [10] отсутствуют данные о v_0 и v_1 , а приведены только их разности. Однако для $T=255 \text{ K}$, где наблюдается максимум σ_p , значения v_0 и v_1 могут быть найдены из рис. 3 работы [10]. Они равны соответственно 210 и 60 м/с . Подставляя значения этих скоростей, $\alpha = 350 \text{ м}^{-1}$ и $\delta = 8 \cdot 10^{-4} \text{ м}$ в (4) с учетом формулы (1), получим $\sigma_p^* \approx 1,9 \cdot \sigma_p \approx 130 \text{ мПа}$ (фиг. 1, точка ②). Значение $\sigma_p^* \approx 130 \text{ мПа}$ при $T = 255 \text{ K}$ совместно с экспериментальными

значениями σ_p при $T \leq 220 \text{ K}$ и $T \geq 270 \text{ K}$ дает основание считать, что фактическая зависимость $\sigma_p(T)$ имеет плавный спадающий характер (фиг. 1, кривая 4), а зарегистрированный в [10] максимум σ_p является следствием неучета аномально-высокого затухания при интерференции волн разгрузки в области откола. Такие псевдорезонансные пики в $\sigma_p(T)$ при отколе, особенно при уменьшении длительности нагружающего импульса, следует ожидать и в других вязких жидкостях, таких как триактитин, бутандиол, гексатриол [12], канифоль [14] и т. д.

В ходе проведения экспериментов при различных температурах [10] поток энергии электронного пучка менялся в ~ 20 раз, следовательно,



Ф и г. 2

Жидкость	$\frac{dp}{dt} \cdot 10^{-14}$, Н/м ² ·с	$\delta \cdot 10^6$, м	$\lambda \cdot 10^{-3}$, Дж/м ²	$\gamma \cdot 10^3$, Дж/м ²
Глицерин [10]	1,85	44	0,46	64
Вода [4]	1,39	61	0,58	73
Спирт [4]	1,03	9,2	3,5	22
Ртуть [9]	375	7	5,4	472
Оргстекло [4]	2,32	262	10	

данные σ_p отвечают различным временам нахождения материала под нагрузением τ или различным длинам нагружающего импульса l . Однако известно, что для твердых тел величина σ_p зависит от τ [15—17]. По-видимому, аналогичную зависимость следует ожидать и для жидкостей. Этим можно объяснить различия в значениях σ_p , полученные для глицерина при комнатной температуре различными авторами: 6,3 мПа [6], 25 мПа [7], 48 мПа [5], 60 мПа [8], 85 мПа [10]. Для получения более полной характеристики разрушения материала, нежели σ_p , удобно воспользоваться энергетическим подходом [18—20] и перейти к описанию прочности материала через удельную работу λ , затрачиваемую на отрыв материала при отколе, где $\lambda \sim \sigma_p^2 l = \text{const}$. Для случая нагружения импульсом треугольной формы в акустическом приближении критерий откола имеет вид [21]

$$(6) \quad \lambda = \sigma_p^2 \delta / 6 \rho c^2$$

или [19]

$$(7) \quad \lambda = 2 \delta^3 \sigma_0^2 / 3 \rho c^2 l^2.$$

Используя экспериментальные данные $\rho(T)$, $c(T)$, $\sigma_p(T)$ [10] с учетом корректировки σ_p (фиг. 1, кривая 4) и предполагая, что величина δ линейно уменьшалась с температурой между своими крайними значениями от $13,6 \times 10^{-4}$ до $1,8 \cdot 10^{-4}$ м, получим из формулы (6) $\lambda(T)$ для глицерина (фиг. 2, кривая 1 — без учета затухания, кривая 2 — с учетом затухания). Как следует из фиг. 2 (кривая 2), с ростом температуры величина λ плавно уменьшается; аналогично ведут себя и твердые тела: медь и сталь [21], алюминиевый сплав АМГ-6 [22].

Имеющиеся данные по отколу [4, 9] позволяют по формуле (7) определить λ для ряда других жидкостей при комнатной температуре и заданных условиях нагружения (см. таблицу, где dP/dt — скорость изменения давления падающего импульса нагрузки, γ — коэффициент поверхностного натяжения). В сравнении с металлами значения λ жидкостей на 1—2 порядка меньше. Так, для меди $\lambda = 3 \cdot 10^4$ Дж/м², для мягкой стали $\lambda = 9 \cdot 10^4$ Дж/м² [19—21].

В заключение отметим, что полученные значения λ для жидкостей в силу сделанных упрощающих предположений следует рассматривать как оценочные, требующие дальнейшего уточнения.

Поступила 13 II 1980

ЛИТЕРАТУРА

- Корнфельд М. Упругость и прочность жидкостей. М.—Л., Гостехиздат, 1951.
- Френкель Я. И. Кинетическая теория жидкостей. М.—Л., Изд-во АН СССР, 1959.
- Зельдович Я. Б., Райзэр Ю. П. Физика ударных волн и высокотемпературных гидродинамических явлений. М., Наука, 1966.
- Дремин А. Н., Канель Г. И., Колдунов С. А. Исследование откола в воде, этиловом спирте и плексигласе. — В сб.: Горение и взрыв. М., Наука, 1972.

5. Рыбаков А. П. Исследование откольных явлений в конденсированных телах.— В сб.: Критические явления. Физико-химические превращения. Черноголовка, АН СССР, 1978.
6. Bull T. H. The tensile strengths of liquids under dynamic loading.— Philos. Mag., 1956, vol. 1, ser. 8, N 2.
7. Erlich D. C., Wooten D. C., Crewdson R. C. Dynamic tensile of glycerol.— J. Appl. Phys., 1971, vol. 42, N 13.
8. Carlson G. A., Henry K. W. Technique for studying dynamic tensile failure in liquids: application to glycerol.— J. Appl. Phys., 1973, vol. 44, N 5.
9. Carlson G. A. Dynamic tensile strength of mercury.— J. Appl. Phys., 1975, vol. 46, N 9.
10. Carlson G. A., Levine H. S. Dynamic tensile strength of glycerol.— J. Appl. Phys., 1975, vol. 46, N 4.
11. Kauzman W. The nature of the glassy state and the behavior of liquids at low temperatures.— Chem. Rev., 1948, vol. 43, N 2.
12. Исаакович М. А., Чабан И. А. Распространение волн в сильно вязких жидкостях.— ЖЭТФ, 1966, т. 50, вып. 5.
13. Piccerelly R., Littovitz T. A. Ultrasonic shear and compressional relaxation in liquid glycerol.— J. Acoust. Soc. Amer., 1957, vol. 29, N 9.
14. Белинский Б. А., Лазаренко Л. М. Поглощение и дисперсия ультразвука в расплаве абиетиновой кислоты.— Акуст. журнал, 1975, т. XXI, вып. 3.
15. Nahmaini G. Experimental investigation of scabbing produced in mild steel plates by plane stress waves.— In: Les Ondes De Detonation. Paris, 1961.
16. Тарасов Ю. И. Исследование зависимости времени разрушения от растягивающей нагрузки для стали и меди.— ДАН СССР, 1965, т. 165, № 2.
17. Альтшулер Л. В., Новиков С. А., Дивнов И. И. Связь критических разрушающих напряжений со временем разрушения при взрывном нагружении металлов.— ДАН СССР, 1966, т. 166, № 1.
18. Иванов А. Г., Минеев В. Н. О масштабном критерии при хрупком разрушении конструкций.— ДАН СССР, 1975, т. 220, № 3.
19. Иванов А. Г. Откол в квазиакустическом приближении.— ФГВ, 1975, № 3.
20. Иванов А. Г., Минеев В. Н. О масштабных эффектах при разрушении.— ФГВ, 1979, № 5.
21. Иванов М. А. Температурная зависимость удельной работы разрушения меди и стали.— ФГВ, 1979, № 4.
22. Батыков Ю. В., Новиков С. А. и др. Влияние температуры образца на величину разрушающих напряжений при отколе в алюминиевом сплаве АМГ-6.— ПМТФ, 1979, № 3.

УДК 534.222

ВЛИЯНИЕ КАМУФЛЕТНОГО ВЗРЫВА НА ФИЛЬТРАЦИОННЫЕ ХАРАКТЕРИСТИКИ ХРУПКОЙ СРЕДЫ

B. B. Кадет, Е. Е. Ловецкий, В. И. Селяков,

B. K. Сироткин

(Москва)

В настоящее время взрывы находят все более широкое применение в народном хозяйстве. Они, в частности, широко применяются в целях интенсификации нефтяных и газовых скважин. При этом большой интерес представляют фильтрационные свойства среды в окрестности взрыва. Необходимо отметить, что теоретическое изучение фильтрационных свойств среды является особенно важным, поскольку их экспериментальное исследование весьма затруднительно.

Однако в настоящее время практически отсутствуют работы, в которых рассматриваются фильтрационные характеристики среды после взрыва на основе физической картины воздействия камуфлетного взрыва на окружающую породу. Так, например, в работе [1] сделана попытка феноменологически описать единой зависимостью коэффициент проницаемости среды после проведения камуфлетного взрыва как в зоне дробления, так и в зоне радиальной трещиноватости. Но результаты этой работы неудовлетворительно согласуются с экспериментом [2], поскольку при рассмотрении не были учтены конкретные механизмы динамического воздействия взрыва на среду.